



UNIVERSIDAD POLITÉCNICA DE MADRID

ESCUELA TÉCNICA SUPERIOR DE INGENIERÍA AERONÁUTICA Y DEL ESPACIO

MÁSTER UNIVERSITARIO EN SISTEMAS ESPACIALES

## Milestone 6

*Ampliación de Matemáticas I*

**Javier Garrido Castillo**

2 diciembre de 2022

# Índice

|  |           |
|--|-----------|
| <b>1. Introducción</b>                                     | <b>2</b>  |
| <b>2. Problema</b>   | <b>2</b>  |
| 2.1. Runge-Kutta Embebido . . . . .                        | 2         |
| 2.2. Problema restringido de los tres cuerpos . . . . .    | 2         |
| 2.3. Puntos de Lagrange y estabilidad . . . . .            | 3         |
| <b>3. Resultados</b>                                       | <b>3</b>  |
| 3.1. Puntos de Lagrange . . . . .                          | 3         |
| 3.2. Estabilidad puntos de Lagrange . . . . .              | 3         |
| 3.3. Órbitas alrededor de los puntos de Lagrange . . . . . | 4         |
| 3.3.1. Runge-Kutta Embebido . . . . .                      | 4         |
| 3.3.2. Otros esquemas numéricos . . . . .                  | 6         |
| <b>4. Código</b>   | <b>9</b>  |
| 4.1. Embedded_RK . . . . .                                 | 10        |
| 4.2. CR3BP . . . . .                                       | 14        |
| 4.3. Lagrange_Points_Calculation . . . . .                 | 14        |
| 4.4. LP_Stability . . . . .                                | 15        |
| 4.5. Código principal: Milestone6 . . . . .                | 15        |
| <b>5. Conclusión</b>                                       | <b>18</b> |

## 1. Introducción

En este hito 6, primeramente se desarrollará un nuevo esquema temporal, el Runge-Kutta Embebido, que será implementado al resto de esquemas numéricos ya empleados en hitos anteriores. Además, se va a analizar el problema restringido de los tres cuerpos y elaborar una función para ello. Adicionalmente, se establecerán los puntos de Lagrange y se estudiará su estabilidad. Por último, se dibujarán distintas órbitas alrededor de los puntos de Lagrange empleando los distintos esquemas temporales.

## 2. Problema

### 2.1. Runge-Kutta Embebido

Con este esquema temporal se puede controlar el paso de tiempo que se emplea para integrar la función. Para ello, se realiza una aproximación local del error de truncación para así variar el paso de tiempo y dedicar más o menos recursos computacionales a ciertas regiones de la solución. De esta forma, es posible obtener una solución de mayor precisión que los esquemas de paso temporal fijo. Para el cálculo de dicho error, se emplearán dos esquemas temporales de tipo Runge-Kutta de orden  $q$  y orden  $q - 1$ . De esta forma, las soluciones para cada uno de ellos son respectivamente:

$$U_{n+1} = U_n + \Delta t_n \sum_{i=1}^s b_i k_i \quad (1)$$

$$U_{n+1}^* = U_n + \Delta t_n \sum_{i=1}^s b_i^* k_i \quad (2)$$

con,

$$U_i = F\left(U_n + \Delta t_n \sum_{j=1}^s a_{ij} k_j, t_n + c_i \Delta t_n\right) \quad (3)$$

Donde,  $a$  es la matriz de Butcher. Esta matriz variará en función del método empleado para la resolución del problema. Con todo ello, el paso del tiempo mínimo se obtiene de la siguiente forma:

$$\Delta t_{min} = \Delta t \left( \frac{\epsilon}{||U_{n+1}^* - U_{n+1}||} \right)^{1/q} \quad (4)$$

### 2.2. Problema restringido de los tres cuerpos

Se trata de un caso particular del problema de los  $N$  cuerpos estudiado en el hito 5. Este caso consiste en establecer una masa despreciable para uno de los tres cuerpos y este se mueve bajo la influencia de los dos cuerpos principales. Para ello, es preciso definir el siguiente parámetro que relaciona las dos masas de los cuerpos principales:

$$\mu = \frac{m_2}{m_1 + m_2} \quad (5)$$

En este caso, se establecerá el sistema Tierra-Luna con un  $\mu = 1.2151 \times 10^2$ . Para estas condiciones, el movimiento del tercer cuerpo (el de masa despreciable) se rige por las

siguientes expresiones:

$$\ddot{x} = 2\dot{y} + x - \frac{(1-\mu)(x+\mu)}{r_1^3} - \frac{\mu(x-1+\mu)}{r_2^3} \quad (6)$$

$$\ddot{y} = -2\dot{x} + y - \left( \frac{1-\mu}{r_1^3} - \frac{\mu}{r_2^3} \right) y \quad (7)$$

Donde,

$$r_1 = \sqrt{(x+\mu)^2 + y^2}; \quad r_2 = \sqrt{(x-1+\mu)^2 + y^2} \quad (8)$$

### 2.3. Puntos de Lagrange y estabilidad

Estos son los puntos donde, el tercer cuerpo definido anteriormente afectado únicamente por la gravedad de los dos principales, tiene aceleración nula. Por tanto, en estos puntos, la función  $F$  es cero. Adicionalmente, para estudiar la estabilidad de dichos puntos, se debe calcular los autovalores de la matriz jacobiana del sistema para cada uno de ellos y en caso de que el autovalor tenga parte real nula, se puede asegurar que es estable. En el sistema estudiado de Tierra-Luna, se obtienen 5 puntos de Lagrange: L1, L2, L3, L4 y L5. Tan solo dos de ellos, L4 y L5 son estables, con órbitas periódicas.

## 3. Resultados

### 3.1. Puntos de Lagrange

Se han obtenido las siguientes coordenadas para los puntos de Lagrange:

- $L_1 = (0.83691309, 0)$
- $L_2 = (1.15568376, 0)$
- $L_3 = (-1.00506282, 0)$
- $L_4 = (0.487849, 0.8660254)$
- $L_5 = (0.487849, -0.8660254)$

### 3.2. Estabilidad puntos de Lagrange

Los autovalores del Jacobiano para cada punto de Lagrange son:

- $L_1 = (2.93206148, -2.93206148, 0, 0)$
- $L_2 = (2.1586705, -2.1586705, 0, 0)$
- $L_3 = (0, 0, -0.17787838, 0.17787838)$
- $L_4 = (-3.6 \times 10^{-7}, -3.6 \times 10^{-7}, 3.6 \times 10^{-7}, 3.6 \times 10^{-7})$
- $L_5 = (3.6 \times 10^{-7}, 3.6 \times 10^{-7}, -3.6 \times 10^{-7}, -3.6 \times 10^{-7})$

### 3.3. Órbitas alrededor de los puntos de Lagrange

Se representarán las órbitas para un tiempo de 500 segundos y  $10^6$  puntos de integración.

#### 3.3.1. Runge-Kutta Embebido

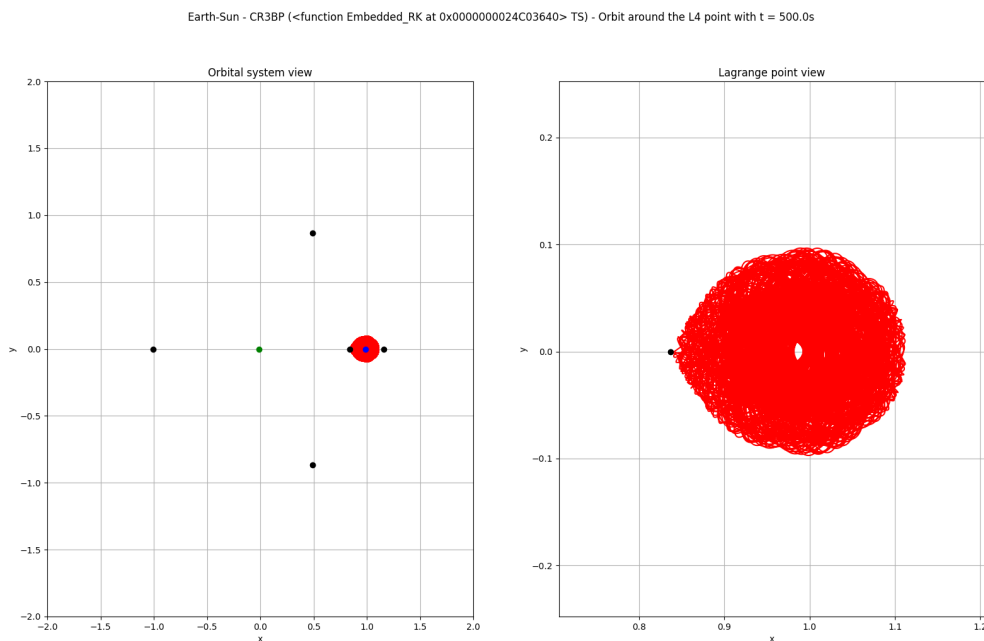


Figura 1: Órbita alrededor de L1 con Runge-Kutta Embebido

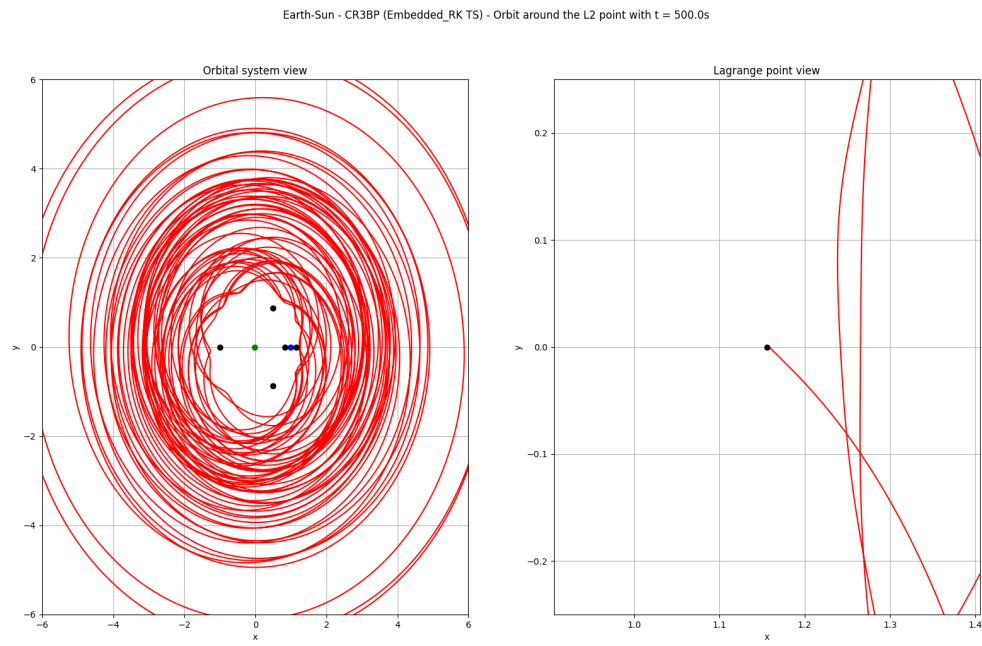


Figura 2: Órbita alrededor de L2 con Runge-Kutta Embebido

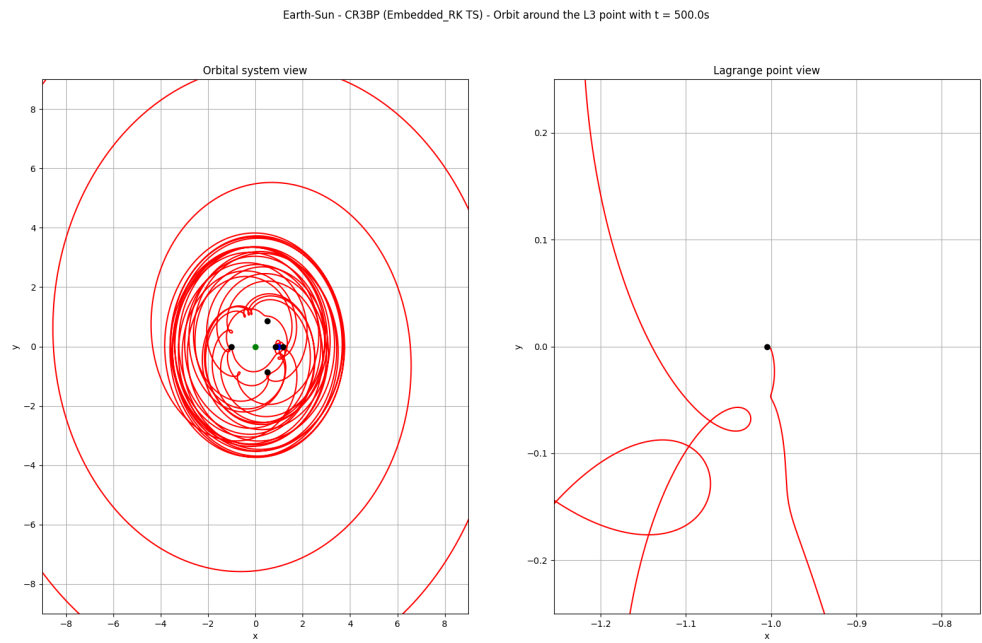


Figura 3: Órbita alrededor de L3 con Runge-Kutta Embebido

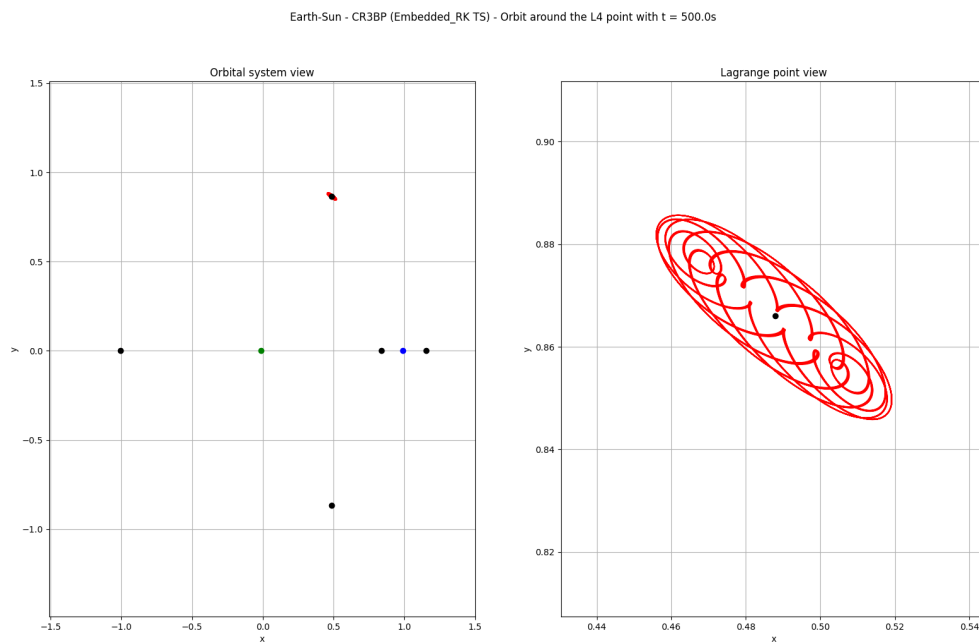


Figura 4: Órbita alrededor de L4 con Runge-Kutta Embebido

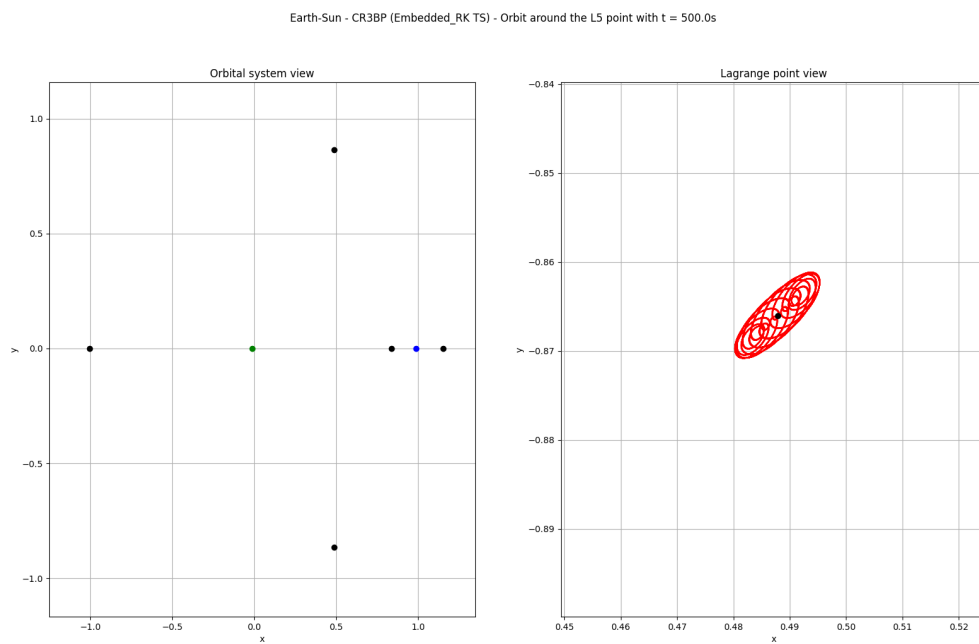


Figura 5: Órbita alrededor de L5 con Runge-Kutta Embebido

### 3.3.2. Otros esquemas numéricos

Se ha tomado el punto L2 para mostrar la diferencia de emplear otros esquemas temporales y observas las diferencias con el Runge-Kutta Embebido empleado anteriormente.

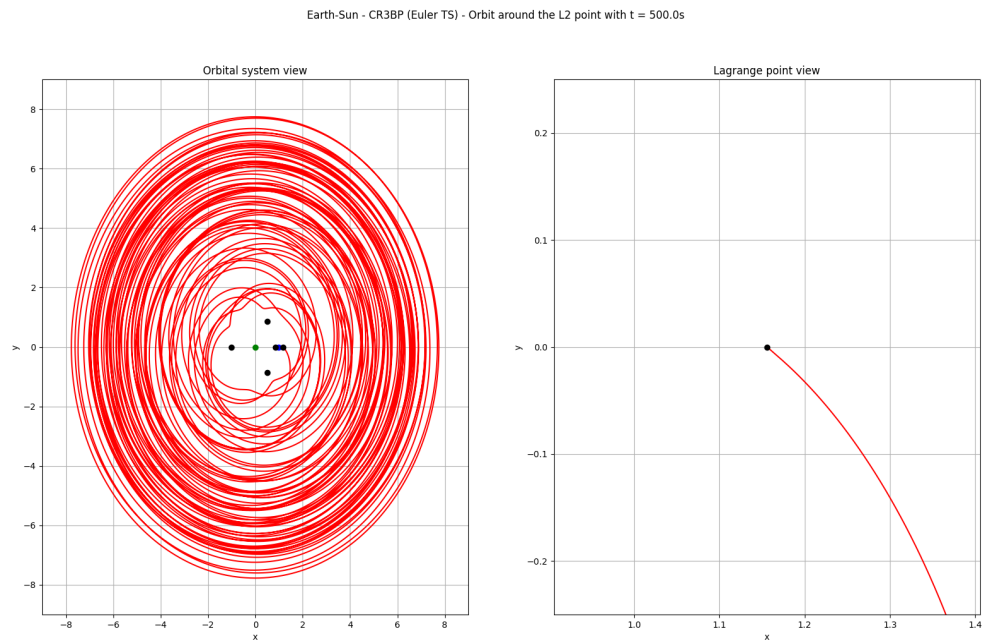


Figura 6: Órbita alrededor de L2 con Euler

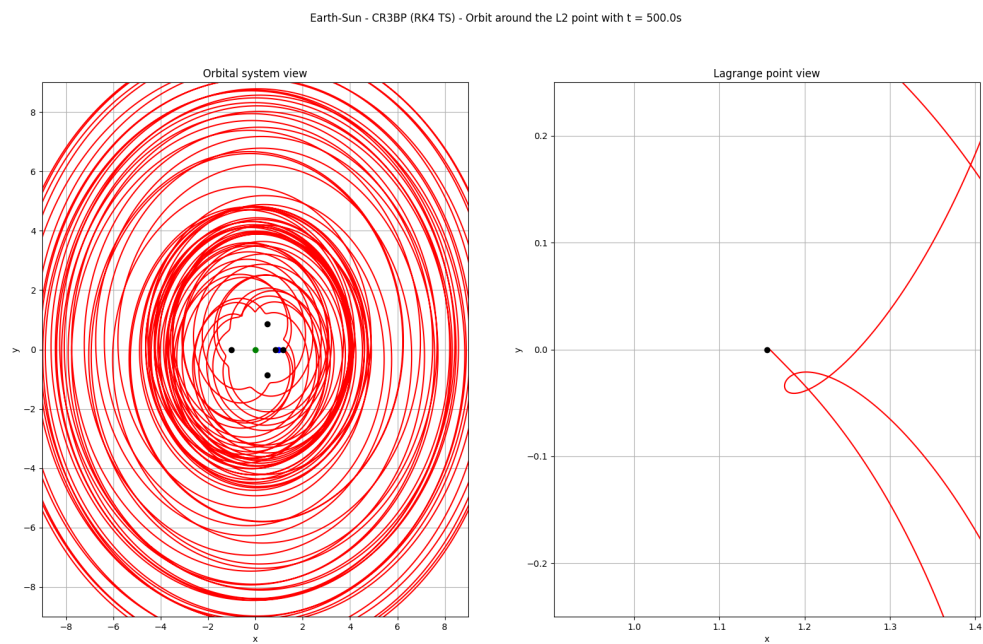


Figura 7: Órbita alrededor de L2 con Runge-Kutta orden 4



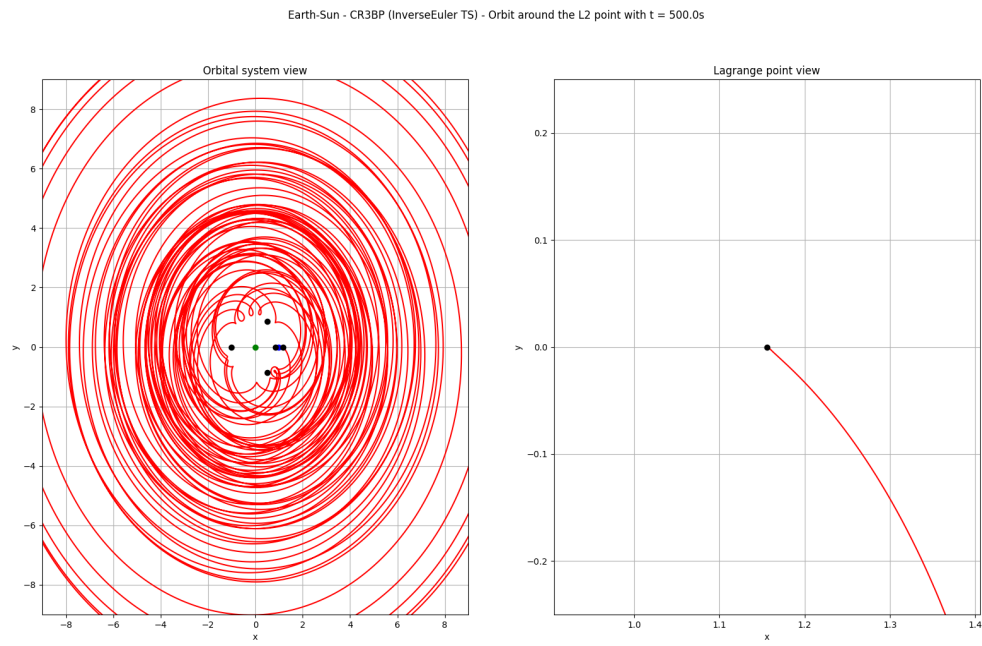


Figura 8: Órbita alrededor de L2 con Euler Inverso

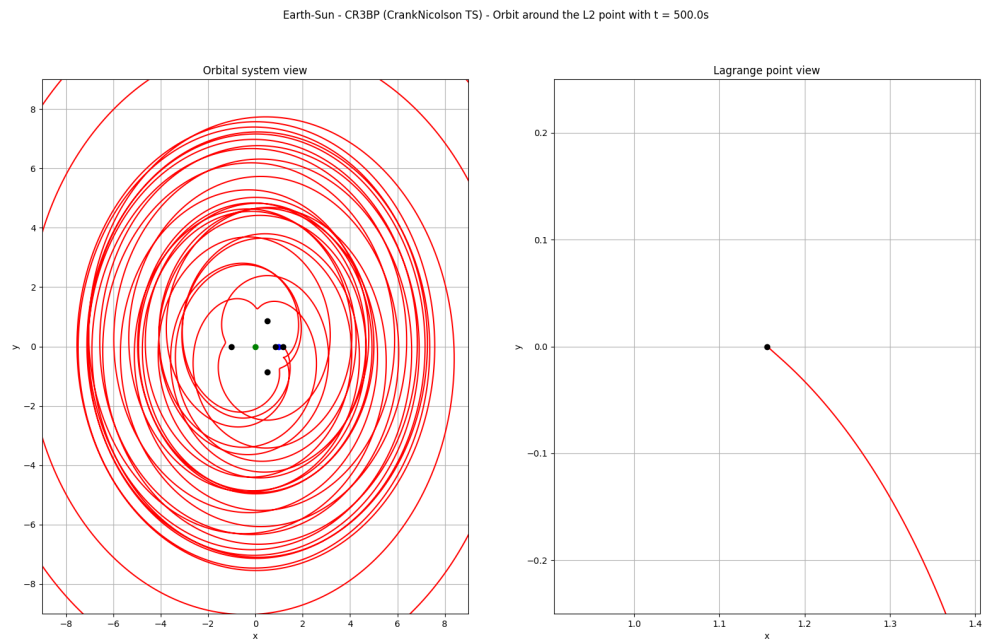


Figura 9: Órbita alrededor de L2 con Crank-Nicolson

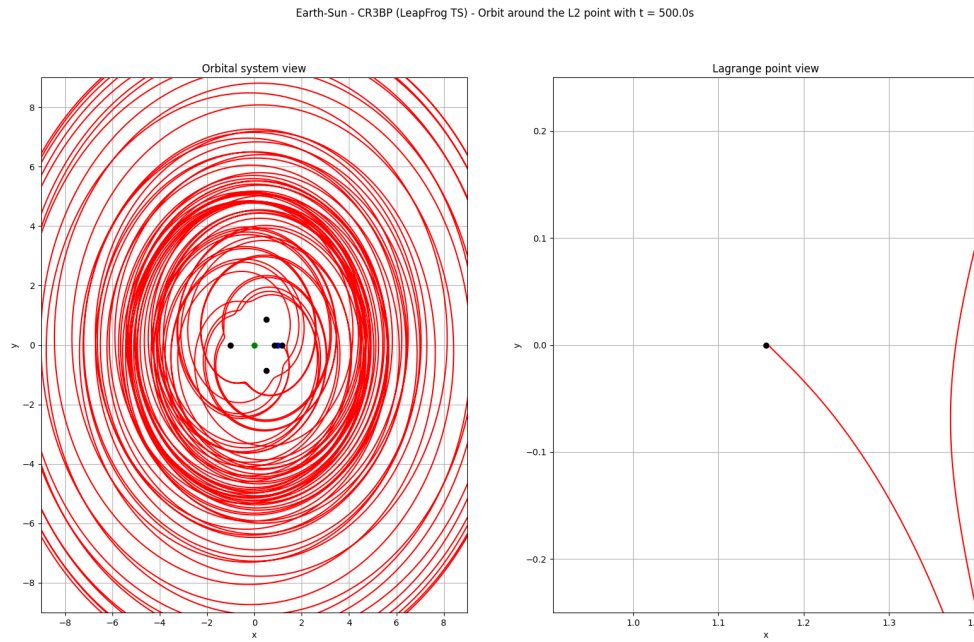


Figura 10: Órbita alrededor de L2 con Leap-Frog

## 4. Código

Empleando de nuevo la estructura Top-Down seguida en el resto de hitos de la asignatura, se emplea nuevamente la carpeta *Functions* donde se ordenarán las distintas funciones empleadas en este hito. Se emplean de nuevo los archivos de *Temporal\_Schemes*, *Physics* y *Cauchy\_Problem*. Adicionalmente, se ha definido un nuevo archivo denominado *Embedded\_RK* donde se definirá el esquema temporal de Runge-Kutta embebido. Además, en *Physics*, se implementará la función del *CR3BP* y tanto el cálculo de los puntos de Lagrange (*Lagrange\_Points\_Calculation*) como la función para determinar su estabilidad (*LP\_Stability*).

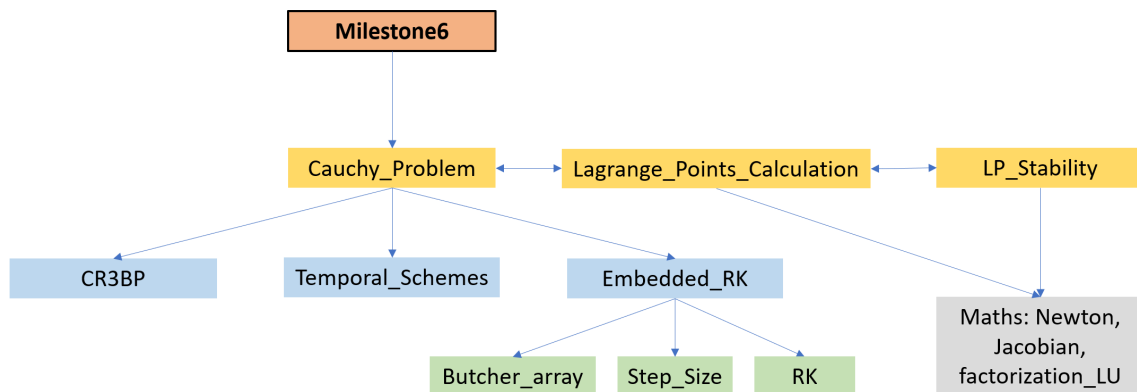


Figura 11: Estructura Top-Down del problema

## 4.1. Embedded\_RK

```

1 from numpy import zeros, matmul, size
2 from numpy.linalg import norm
3
4 def Embedded_RK(U, dt, t, F):
5
6     Embedded_RK.__name__ == "Embedded Runge-Kutta"
7     RK_Method = "Dormand-Prince"
8     tol = 1e-6
9
10    V1 = RK_Scheme(RK_Method, "First", U, t, dt, F)
11    V2 = RK_Scheme(RK_Method, "Second", U, t, dt, F)
12
13    a, b, bs, c, q, Ne = Butcher_array(RK_Method)
14
15    h = min(dt, Step_Size(V1-V2, tol, dt, min(q)))
16
17    N_n = int(dt/h)+1
18    n_dt = dt/N_n
19
20    V1 = U
21    V2 = U
22
23    for i in range(N_n):
24        time = t + i*dt/int(N_n)
25        V1 = V2
26        V2 = RK_Scheme(RK_Method, "First", V1, time, n_dt, F)
27
28    U2 = V2
29
30    ierr = 0
31
32    return U2
33
34 def RK_Scheme(name, tag, U1, t, dt, F):
35     a, b, bs, c, q, N = Butcher_array(name)
36     k = zeros([N, len(U1)])
37
38     k[0,:] = F(U1, t + c[0]*dt)
39
40     if tag=="First":
41
42         for i in range(1,N):
43             Up = U1
44             for j in range(i):
45                 Up = Up + dt*a[i,j]*k[j,:]
46
47             k[i,:] = F(Up, t + c[i]*dt)
48
49         U2 = U1 + dt*matmul(b,k)
50
51     elif tag == "Second":
52
53         for i in range(1,N):
54             Up = U1

```

```

55         for j in range(i):
56             Up = Up + dt*a[i,j]*k[j,:]
57
58             k[i,:] = F(Up, t + c[i]*dt)
59
60         U2 = U1 + dt*matmul(bs,k)
61
62     return U2
63
64 def Step_Size(dU, tolerance, q, dt):
65
66     normT = norm(dU)
67
68     if normT > tolerance:
69         step_size = dt*(tolerance/normT)**(1/(q+1))
70
71     else:
72         step_size = dt
73
74     return step_size
75
76 def Butcher_array(Name: str):
77     """This function generates the Butcher Tableau depending on the
78     method selected
79     Args:
80         Name (str): Name of the method, options are: Heun-Euler, Bogacki
81         -Shampine, Fehlberg-RK12, Dormand-Prince, Cash-Karp and Felberg.
82
83     """
84     if Name == "Heun-Euler":
85         q = [2,1]          # Heun's order = 2, Eulers order = 1
86         N = 2
87
88         a = zeros([N,N-1])
89         b = zeros([N])
90         bst = zeros([N])
91         c = zeros ([N])
92
93         c = [0., 1.]
94
95         a[0,:] = [ 0. ]
96         a[1,:] = [ 1. , 0.]
97
98         b[:] = [0.5 , 0.5 ]
99         bst[:] = [ 1., 0. ]
100
101     elif Name=="Bogacki-Shampine":
102         q = [3,2]
103         N = 4
104
105         a = zeros([N,N-1])
106         b = zeros([N])
107         bs = zeros([N])
108         c = zeros([N])
109
110         c[:] = [ 0., 1./2, 3./4, 1. ]

```

```

109
110     a[0,:] = [ 0., 0., 0. ]
111     a[1,:] = [ 1./2, 0., 0. ]
112     a[2,:] = [ 0., 3./4, 0. ]
113     a[3,:] = [ 2./9, 1./3, 4./9 ]
114
115     b[:] = [ 2./9, 1./3, 4./9, 0. ]
116     bs[:] = [ 7./24, 1./4, 1./3, 1./8 ]
117
118     elif Name == 'Fehlberg-RK12':
119
120         q = [2,1]
121         N = 3
122
123         a = zeros([N,N-1])
124         b = zeros([N])
125         bst = zeros([N])
126         c = zeros([N])
127
128         c[:] = [ 0., 0.5, 1. ]
129
130         a[0,:] = [ 0., 0. ]
131         a[1,:] = [ 1./2, 0. ]
132         a[2,:] = [ 1./256, 255./256 ]
133
134         b[:] = [ 1./256, 255./256, 0. ]
135         bst[:] = [ 1./512, 255./256, 1./512 ]
136
137     elif Name=="Dormand-Prince":
138         q = [5,4]
139         N = 7
140
141         a = zeros([N,N-1])
142         b = zeros([N])
143         bst = zeros([N])
144         c = zeros([N])
145
146         c[:] = [ 0., 1./5, 3./10, 4./5, 8./9, 1., 1. ]
147
148         a[0,:] = [ 0., 0., 0., 0., 0., 0., 0. ]
149         a[1,:] = [ 1./5, 0., 0., 0., 0., 0., 0. ]
150         a[2,:]= [ 3./40, 9./40, 0., 0., 0., 0., 0. ]
151         a[3,:] = [ 44./45, -56./15, 32./9, 0., 0., 0., 0. ]
152         a[4,:] = [ 19372./6561, -25360./2187, 64448./6561, -212./729, 0., 0., 0. ]
153         a[5,:] = [ 9017./3168, -355./33, 46732./5247, 49./176, -5103./18656, 0., 0. ]
154         a[6,:]= [ 35./384, 0., 500./1113, 125./192, -2187./6784, 11./84, 0. ]
155
156         b[:] = [ 35./384, 0., 500./1113, 125./192, -2187./6784, 11./84, 0. ]

```

```

157     bst[:] = [5179./57600, 0., 7571./16695, 393./640,
158             -92097./339200, 187./2100, 1./40 ]
159
159     elif Name == "Cash-Karp":
160         q = [5,4]
161         N = 6
162
163         a = zeros([N,N-1])
164         b = zeros([N])
165         bst = zeros([N])
166         c = zeros([N])
167
168         c[:] = [ 0., 1./5, 3./10, 3./5, 1., 7./8 ]
169
170         a[1,:] = [ 0.,          0.,          0.,          0.,          0.
171 ]
172         a[2,:] = [ 1./5,          0.,          0.,          0.,          0.
173 ]
174         a[3,:] = [ 3./40,          9./40,          0.,          0.,          0.
175 ]
176         a[4,:] = [ 3./10,          -9./10,          6./5,          0.,          0.
177 ]
178         a[5,:] = [ -11./54,          5./2,          -70./27,          35./27,          0.
179 ]
180         a[6,:] = [ 1631./55296, 175./512, 575./13824, 44275./110592,
181             253./4096 ]
182
183         b[:] = [ 37./378, 0., 250./621, 125./594,
184             0., 512./1771]
185         bst[:] = [2825./27648, 0., 18575./48384, 13525./55296,
186             277./14336, 1./4 ]
187
188     elif Name == "Felberg":
189         q = [5,4]
190         N = 6
191
192         a = zeros([N,N-1])
193         b = zeros([N])
194         bst = zeros([N])
195         c = zeros([N])
196
197         c[:] = [ 0., 1./4, 3./8, 12./13, 1., 0.5 ]
198
199         a[1,:] = [ 0.,          0.,          0.,          0.,          0.
200 ]
201         a[2,:] = [ 1./4,          0.,          0.,          0.,          0.
202 ]
203         a[3,:] = [ 3./32,          9./32,          0.,          0.,          0.
204 ]
205         a[4,:] = [ 1932./2197, -7200./2197, 7296./2197, 0., 0.
206 ]
207         a[5,:] = [ 439./216, -8, 3680./513, -845./4104, 0.
208 ]
209         a[6,:] = [ -8./27, 2., -3544./2565, 1859./4104, -11./40 ]

```

```

199     b[:] = [ 16./135 , 0., 6656./12825, 28561./56430 , -9./50 ,
200             2./55]
201     bst[:] = [25./216 , 0., 1408./2565, 2197./4104 , -1./5, 0 ]
202
203
204     return a, b, bst, c, q, N

```

Listing 1: Embedded\_RK

## 4.2. CR3BP

```

205 def CR3BP(U,t,mu):
206     r_x, r_y = U[0], U[1] # Posicion
207     v_x, v_y = U[2], U[3] # Velocidad
208
209     r1 = sqrt((r_x + mu)**2 + r_y**2)
210     r2 = sqrt((r_x - 1 + mu)**2 + r_y**2)
211
212     dvdt_x = 2*v_y + r_x - ((1 - mu)*(r_x + mu))/(r1**3) - mu*(r_x - 1 +
213     mu)/(r2**3)
214     dvdt_y = -2*v_x + r_y - ((1 - mu)/(r1**3) + mu/(r2**3))*r_y
215
216     return array([v_x, v_y, dvdt_x, dvdt_y])

```

Listing 2: CR3BP

## 4.3. Lagrange\_Points\_Calculation

```

216 def Lagrange_Points_Calculation(U0, NL, mu):
217
218     LP = zeros([5,2])
219
220     def F(Y):
221
222         X = zeros(4)
223         X[0:2] = Y
224         X[2:4] = 0
225         FX = CR3BP(X, 0, mu)
226         return FX[2:4]
227
228     for i in range(NL):
229         LP[i,:] = fsolve(F, U0[i,0:2])
230
231     return LP

```

Listing 3: Lagrange\_Points\_Calculation

## 4.4. LP\_Stability

```

232     def LP_Stability(U0, mu):
233
234         def F(Y):
235             return CR3BP(Y, 0, mu)
236
237         A = Jacobian(F, U0)
238         values, vectors = eig(A)
239
240         return values

```

Listing 4: LP\_Stability

## 4.5. Código principal: Milestone6

```

241 from Functions.Temporal_Schemes import Euler, Crank_Nicolson, RK4,
    Inverse_Euler, LeapFrog
242 from Functions.Cauchy_Problem import Cauchy_problem
243 from Functions.N_Body import F_NBody
244 from Functions.Physics import Kepler, CR3BP, Lagrange_Points_Calculation
    , LP_Stability
245 from Functions.EmbRK import Embedded_RK
246
247 import matplotlib.pyplot as plt
248 from mpl_toolkits.mplot3d import axes3d
249 from numpy import array, linspace, zeros, size, linspace, reshape,
    around
250 from numpy.random import random
251
252 # Time definition
253 N = int(1e6) # time steps
254 t0 = 0 # tiempo inicial
255 tf = 500 # tiempo final
256 #dt = [0.1, 0.01, 0.001]
257 #N = int(tf/dt[j])
258 t = linspace(t0, tf, N)
259
260 ### CR3BP SOLUTION ###
261
262 #mu = 3.0039e-7 # Earth - Sun
263 mu = 1.2151e-2 # Earth - Moon
264
265 def F(U, t):
266     return CR3BP(U, t, mu)
267
268 ### LAGRANGE POINTS ###
269
270 NLP = 5 # Number of Lagrange Points
271
272 U0 = zeros([NLP,4]) # Initial values
273 U0[0,:] = array([0.8, 0.6, 0, 0])
274 U0[1,:] = array([0.8, -0.6, 0, 0])
275 U0[2,:] = array([-0.1, 0, 0, 0])
276 U0[3,:] = array([0.1, 0, 0, 0])

```



```

277 U0[4,:] = array([1.01, 0, 0, 0])
278
279 LagrangePoints = Lagrange_Points_Calculation(U0, NLP, mu)
280 print(LagrangePoints)
281 ### ORBITS AROUND LP ###
282 U0LP = zeros(4)
283 U0SLP = zeros(4)
284
285 eps = 1e-3*random()
286 print('Choose Lagrange Point: 1, 2, 3, 4, 5')
287 sel_LP_ = int(input()) # Selected Lagrange Point
288 if sel_LP_ == 1:
289     sel_LP = 4
290 elif sel_LP_ == 2:
291     sel_LP = 5
292 elif sel_LP_ == 3:
293     sel_LP = 3
294 elif sel_LP_ == 4:
295     sel_LP = 1
296 elif sel_LP_ == 5:
297     sel_LP = 2
298
299
300
301 U0LP[0:2] = LagrangePoints[sel_LP-1,:] + eps
302 U0LP[2:4] = eps
303
304 U0SLP[0:2] = LagrangePoints[sel_LP-1,:]
305 U0SLP[2:4] = 0
306
307 Temp_Schemes = [Euler, RK4, Crank_Nicolson, Inverse_Euler, LeapFrog,
308                 Embedded_RK]
309 T_S_list = ['Euler', 'RK4', 'CrankNicolson', 'InverseEuler', 'LeapFrog',
310             'Embedded_RK']
311 colors = ['b','r','g','m','y','c']
312
313 ### STABILITY OF LAGRANGE POINTS ###
314 print('Choose temporal scheme: Euler[0], RK4[1], Crank_Nicolson[2],
315       Inverse_Euler[3], LeapFrog[4], Embedded_RK[5]')
316 k = int(input())
317 TS = Temp_Schemes[k]
318 T_S = T_S_list[k]
319 U_LP = Cauchy_problem(TS, F, t, U0LP)
320 eig = LP_Stability(U0SLP, mu)
321 print(around(eig.real,8))
322
323 ### PLOT ###
324 fig, (ax1, ax2) = plt.subplots(1, 2)
325 ax1.plot(U_LP[:,0], U_LP[:,1], '-', color = "r")
326 ax1.plot(-mu, 0, 'o', color = "g")
327 ax1.plot(1-mu, 0, 'o', color = "b")
328
329 for i in range(NLP):
330     ax1.plot(LagrangePoints[i,0], LagrangePoints[i,1] , 'o', color = "k"
331 )

```

```

329 ax1.set_xlim(-9,9)
330 ax1.set_ylim(-9,9)
331 ax1.set_title("Orbital system view")
332
333 ax2.plot(U_LP[:,0], U_LP[:,1], '-', color = "r")
334 ax2.plot(LagrangePoints[sel_LP-1,0], LagrangePoints[sel_LP-1,1] , 'o',
          color = "k")
335
336
337 ax2.set_title("Lagrange point view")
338 ax2.set_xlim(LagrangePoints[sel_LP-1,0]-0.25,LagrangePoints[sel_LP
          -1,0]+0.25)
339 ax2.set_ylim(LagrangePoints[sel_LP-1,1]-0.25,LagrangePoints[sel_LP
          -1,1]+0.25)
340 fig.suptitle(f"Earth-Sun - CR3BP ({T_S} TS) - Orbit around the L{sel_LP_
          } point with t = " + str(t[N-1])+ 's')
341
342 for ax in fig.get_axes():
343     ax.set(xlabel='x', ylabel='y')
344     ax.grid()
345
346 plt.show()

```

Listing 5: Milestone6 code

## 5. Conclusión

En cuanto al hito en cuestión, se ha presentado un nuevo esquema temporal como es el embebido el cuál a pesar de emplear mayores recursos computacionales, obtiene grandes resultados. Se puede observar así la mayor precisión de la órbita dibujada en comparación con el resto de esquemas representados. Adicionalmente, se podría implementar el sistema de Tierra-Sol para el cálculo de los apartados de este hito.

Este ha sido el último de los hitos individuales realizados en esta asignatura, y querría destacar el notable aprendizaje que he notado durante el desarrollo del cuatrimestre. Y no solo en el ámbito de la programación con el lenguaje Python si no también en el cálculo numérico. Al no haber cursado la especialidad de CTA, la gran mayoría de los conceptos presentados en la asignatura eran nuevos para mí. Este camino se inició presentando algunos de los esquemas temporales y ya en los últimos hitos ha sido posible ver su utilidad física en el ámbito espacial, lo cuál ha permitido que sea más satisfactorio el aprendizaje.